

1. まえがき

本報告は、梁要素よりなる構造物(アーチ、ラーメン等)の幾何学的非線形解析に関する一考察を行つたものである。この種の研究成果は大変多く発表されているが、筆者は解析手法による初期たわみ角の考慮という点に留意して検討を試みたので、ここに、次の2点について発表する。

1) 荷重増分ステップで初期軸力と初期たわみ角を考慮した場合の基礎方程式について

2) 2ヒンジアーチの面内非線形座屈解釈値と座屈係数等について

2. 基礎方程式

各増分ステップでは歪み角と回転が共に小さいとして力と変位の関係はLagrangian表示によつて解析を行う。今、考えていくステップまでに、外力 P_0 の作用に対し、変位 U_0 、応力 σ_0 が生じているとする。この状態に、更に荷重 P_i が作用して変位 U_i 、応力 σ_i が新たに生じるものとする。この

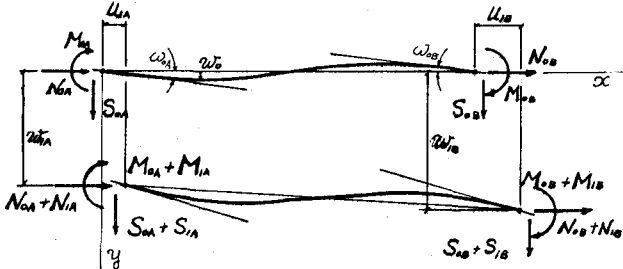


図-1

時、新たに生じた歪エネルギー・ポテンシャル ΔV_e および外力ポテンシャル ΔV_P は次式によつて表わされる。

$$\Delta V_e = \int_v (\epsilon_i \cdot \sigma_0 + \frac{1}{2} \epsilon_i \cdot \sigma_i) dV \quad (1) \quad \Delta V_P = -(P_0 + P_i) \cdot U_i - U_0 \cdot P_i \quad (2)$$

梁要素についてのみ考えるから、軸線の伸びは $\epsilon_i = U'_i + \frac{1}{2} (w')^2 - \frac{1}{2} (w'_0)^2$ 、曲率の増分は $k = w'' - w''_0$ で表わせるとすると、 ΔV_e 、 ΔV_P は次のようになる。

$$\Delta V_e = \int_1 [N_i \{ U'_i + \frac{1}{2} (w')^2 - \frac{1}{2} (w'_0)^2 \} + M_i (w'' - w''_0) + \frac{AE}{2} \{ U'_i + \frac{1}{2} (w'') - \frac{1}{2} (w''_0) \} + \frac{EI}{2} (w'' - w''_0)] dx \quad (3)$$

$$\Delta V_P = -(N_{0A} + N_{iA}) \cdot U_{iA} - (S_{0A} + S_{iA}) \cdot W_{iA} - (M_{0A} + M_{iA}) (w'' - w''_0)_A - (N_{0B} + N_{iB}) \cdot U_{iB} - (S_{0B} + S_{iB}) \cdot W_{iB} - (M_{0B} + M_{iB}) (w'' - w''_0)_B \quad (4)$$

$\delta V = \delta(\Delta V_e) + \delta(\Delta V_p)$ から停留条件として次の微分方程式が導かれる。

$$AE(U'_i)' + \frac{AE}{2} \{ (w')^2 \}' = 0 \quad (5) \quad N_i w'' + AE(U' w')' + \frac{AE}{2} [(w')^2]' - \frac{AE}{2} (w'_0)^2 w'' - EI w''' = 0 \quad (6)$$

(6)式について次のようないくつかの近似計算が可能なものとする。

$$(6) = N_i w'' + AE \left[\left\{ U'_i + \frac{1}{2} (w')^2 - \frac{1}{2} (w'_0)^2 \right\} \cdot w' \right]' - EI w''' = (N_i + N_l) w'' - EI w''' = 0 \quad (7)$$

(7)式は軸力の作用した梁要素の微分方程式であり、一般解は多くの文献で述べられているので省略する。図-1に示される境界条件によつて、力と変位の関係をマトリックス表示したのが(8)式である。(8)式中、 ω_{AB} は増分ステップでの格点のたわみ角($\omega = w'' - w''_0$)を表わす。また Δ/L 、 Δ/L_0 、 P は次式によつて求める。

$$\frac{\Delta}{L} = \int_0^L (w')^2 dx, \quad \frac{\Delta}{L_0} = \int_0^L (w'_0)^2 dx, \quad \rho = \frac{w_{iB} - w_{iA}}{L} \quad (8)$$

(8)式は非線形方程式になつてしまふため、Newton-Raphson Methodによって収束計算を行う。なお、収束の判定には変位増分、応力増分の積を用い、積が許容値以下になると繰り返し計算を行う。

$$\begin{aligned}
 \begin{bmatrix} N_A \\ S_A \\ M_A \\ N_B \\ S_B \\ M_B \end{bmatrix} &= \begin{bmatrix} \frac{AE}{L} & 0 & 0 & -\frac{AE}{L} & 0 & 0 \\ 0 & 2k_{23}\frac{EI}{L^2} & k_{23}\frac{EI}{L^2} & 0 & -2k_{23}\frac{EI}{L^2} & k_{23}\frac{EI}{L^2} \\ 0 & k_{23}\frac{EI}{L^2} & \frac{k_{23}EI}{L} & 0 & -k_{23}\frac{EI}{L^2} & k_{23}\frac{EI}{L^2} \\ -\frac{AE}{L} & 0 & 0 & \frac{AE}{L} & 0 & 0 \\ 0 & -2k_{23}\frac{EI}{L^2} & -k_{23}\frac{EI}{L^2} & 0 & 2k_{23}\frac{EI}{L^2} & -k_{23}\frac{EI}{L^2} \\ 0 & k_{23}\frac{EI}{L^2} & k_{23}\frac{EI}{L} & 0 & -k_{23}\frac{EI}{L^2} & k_{23}\frac{EI}{L} \end{bmatrix} \begin{bmatrix} U_A \\ W_{IA} \\ \omega_A \\ U_B \\ W_{IB} \\ \omega_B \end{bmatrix} + \begin{bmatrix} -\frac{AE}{2}(\frac{\Delta-\Delta_0}{L}) & -N_{0B} \\ \frac{EI}{L^2} \cdot k_{23}(\omega_{0A} + \omega_{0B}) - \rho N_{0B} \\ \frac{EI}{L}(k_{23}\omega_{0A} + k_{23}\omega_{0B}) \\ \frac{AE}{2}(\frac{\Delta-\Delta_0}{L}) + N_{0B} \\ -\frac{EI}{L^2} \cdot k_{23}(\omega_{0A} + \omega_{0B}) + \rho N_{0B} \\ \frac{EI}{L}(k_{23}\omega_{0A} + k_{23}\omega_{0B}) \end{bmatrix} = (8)
 \end{aligned}$$

各増分ステップでの初にわみ角は、次式によつて求める。

$$(\omega_{0A})_{n+1} = (\omega_{0A})_n + (\omega_{IA})_n - \frac{W_{IB}-W_{IA}}{L}, \quad (\omega_{0B})_{n+1} = (\omega_{0B})_n + (\omega_{IB})_n - \frac{W_{IB}-W_{IA}}{L} \quad (10)$$

3. 数値計算による考察

今回の数値計算は $f/L = 0.1$ の 2 ピンジ・アーチ(図-2)に対して、7 ケースの荷重形式について行つた。荷重ケースは $P/W = 0.001, 0.01, 0.05, 0.1, 0.3, 0.6, 1.0$ とした。図-2 の断面特性を決める基準としては、道路橋示方書(11, 3, 1)を準用した。

$$W = d \cdot \frac{EI}{L^3} \cdot \frac{f}{L} \quad \text{但し } f/L = 0.1 \quad L = 100m \quad (11)$$

(11) 式に座屈係数 $\alpha = 36.0$ $W = 6.0 t/m$ を代入して、 $I = 0.079 m^4$ を求めた。断面積 A はやはり示方書を準用して $A = 0.33 m^2$ とした。

図-3 (荷重倍(α)の載荷荷重で座屈するか P/W を横軸にとって表わしたものである。

図-4 には限界水平反力 H_{cr} と P/W の関係を図化したものである。図中より、 $P/W = 0$ のときの H_{cr} を $5800 t$ と求めた(なお、計算値は $P/W = 0.001$ で $H_{cr} = 5750$ であった)。この H_{cr} に対して座屈係数を求めてみると、 $\alpha = 34.96$ となった。

図-5 には H_{cr}/H_{cr} と P/W の関係を図化した($H_{cr} = 5800 t$)。図中には示方書に規定されている関係式も同時に示した。

これらの結果から判断すれば、図-2 のような偏載荷重に関する座屈値および限界水平反力算出用の実用公式等に付随する图表の作成が非線形解析によつて更に充実させることが可能ではないかと思ふ。

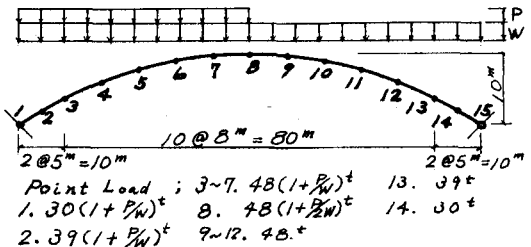


図-2

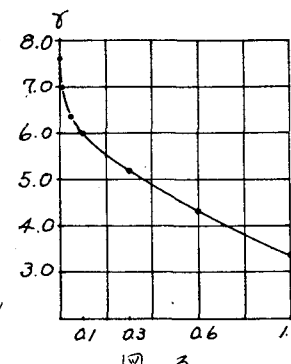


図-3

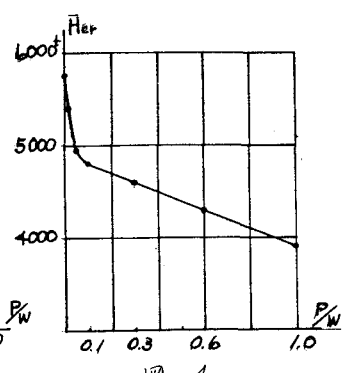


図-4

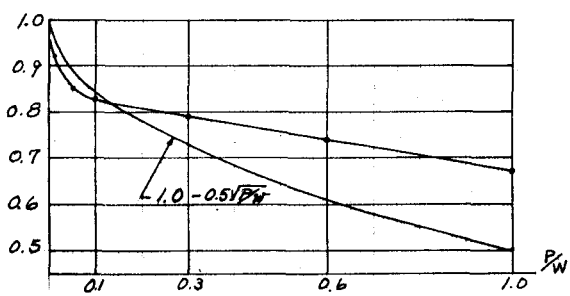


図-5